防潮堤と海岸林の位置関係が流況と樹木抵抗に与える影響に関する実験的研究

字都宮大学 学生会員 〇野崎 樹 字都宮大学 正会員 飯村 耕介 字都宮大学 正会員 池田 裕一 字都宮大学 学生会員 髙橋 勇貴

1. はじめに

2011年3月に発生した東北地方太平洋沖地震津波 では、津波が防潮堤を越え、防潮堤の背後地域に大き な被害をもたらした. そのため大規模な津波(レベル 2津波)に対しては多重防護による減災対策が重要に なっている.一方,古くから海岸林が持つ津波減災効 果に関する研究については(首藤りをはじめ)多くの 研究が行われてきており、本研究では防潮堤と海岸 林を組み合わせた多重防護による津波減災効果に着 目した. 防潮堤と海岸林を組み合わせた多重防護に 関しては、内海ら2は定常流下における、内山ら3は 段波を発生させた場合の減勢効果をそれぞれ明らか にした.しかし、多重防護における周辺流況の詳細 と,海岸林の津波抵抗力への影響については明らか になっていない. 本研究では、定常流による水理模型 実験を行い, 防潮堤と海岸林の配置方法の違いによ る構造物周辺の流況の詳細と海岸林模型への作用力 を明らかにすることを目的とする.

2. 実験概要

幅 0.3m, 高さ 0.4m, 長さ 7.5m, 勾配 1/497 の水路 を作成し,防潮堤模型と海岸林模型を設置して実験を行った. 本実験では,反射波などの複雑な現象を回避し,基本的な流況の特徴を明らかにするため,遡上津波のピーク付近を想定した定常流下で実験を行った. そのときの流量は 4150cm³/s,フルード数は約 0.7となっている.設置する海岸林模型は,胸高直径 0.15m, 密度 0.2 本/m² のクロマツを約 1/100 縮尺で再現して,直径 0.2cm のアクリル製円柱を密度 0.1379 本/cm² で正方形配置とした.防潮堤模型は高さ (H)を 3cm とし,底面幅 (W_{eb}) 15cm, 天端幅 3cm で塩化ビニル板を用いて作製した.模型配置は大きく 3つの type に分け(図-1),それぞれの type で海岸林幅 W_{v} = 200cm とし,防潮堤模型と海岸林模型の距離 G (=0,50,100cm)を変化させ実験を行った.実験で

は各ケースで水深と流速,海岸林模型への作用力を 測定した. 水深測定は水路横断方向の中心点で, ポイ ントゲージを用いて流下方向に 20cm 間隔,海岸林模 型前後では 5cm 間隔, 防潮堤模型周辺では 2cm 間隔 で測定した. 流速測定についても水路横断方向の中 心点で二成分型電磁流速計を用いて流下方向 50cm 間隔で測定し,防潮堤模型周辺では流下方向 5cm 間 隔,海岸林模型内では流下方向 25cm 間隔,各模型間 では流下方向 5cm または 10cm 間隔として測定を行 った. またその際の鉛直方向の測定点は, 各模型の配 置支点および終点付近は鉛直方向 1cm 間隔, その他 の点は水深 60%で測定を行った. 海岸林模型への作 用力の測定では SSK 社製の 2 分力計を用いて、先端 に海岸林模型と同じアクリル製円柱を 3 本取り付け た. 測定点は水路横断方向の中心, 海岸林模型の配置 始点から終点までの 25cm 間隔であり,模型に加わる 流下方向, 横断方向の流体力を測定した.

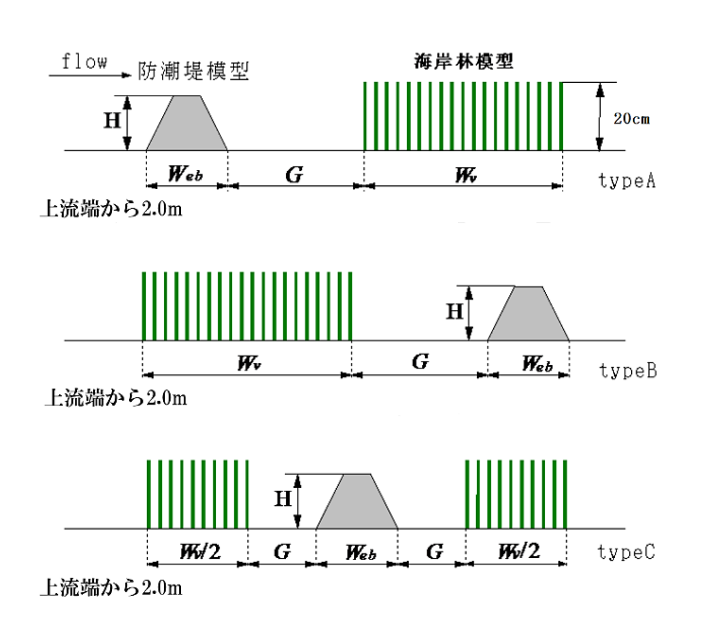


図-1 実験模型の配置方法

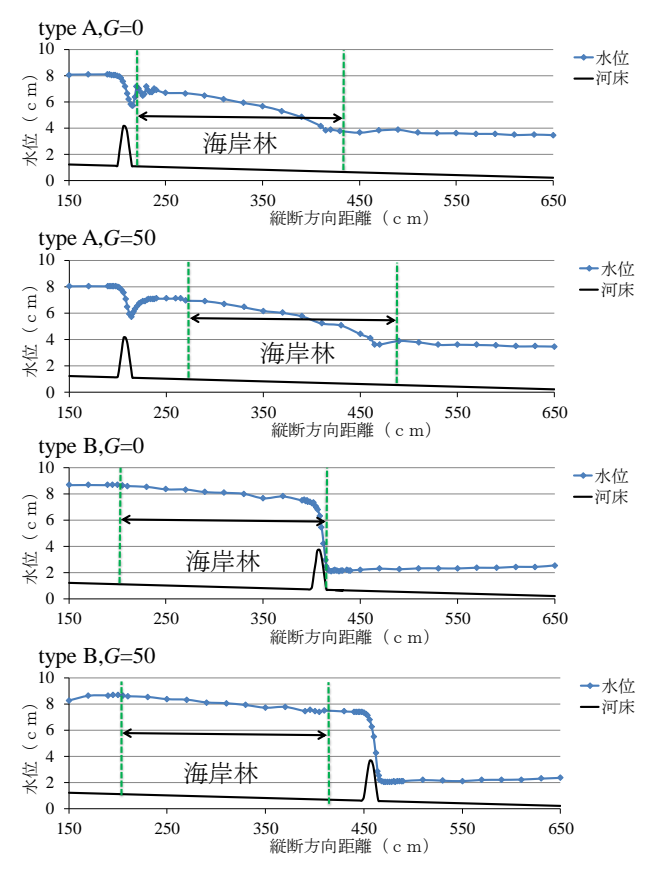


図-2 type A, B における水面形

3. 実験結果

図-2 に *G*=0, 50cm における type A と type B の水面 形を示す. 防潮堤越流直後の水深の変化は type A では あまり見られず、type B で最も防潮堤背後の水深が小 さくなっている. 海岸林前後での水深差は type A が最 も大きく, 防潮堤よりも下流側に海岸林がある方が海 岸林内で大きな水深の変化が見られた. また, 模型間 距離 G を変化させた場合、type A では堤防越流直後の 水深の変化に、type B では海岸林前後の水深の変化に 差が生じた. これは、模型間の流域が下流側に配置し た模型のせき止め効果を受けているためだと考えら れる. **図-3** に *G*=50cm での type A と type B の海岸林 内の流体力指標 $(=v^2h)$ と実際に測定した海岸林への 作用力を示す. 全体的に海岸林への作用力は type A の 方が大きく、type A では配置始点で、type B では配置 終点で最も作用力が大きくなった. 流体力指標を考慮 した際, type B は海岸林前後で流速が大きくなるため 流体力指標の値も大きくなり結果を満足させるが, type A の場合は堤防越流により急激に増大した流速が ぶつかるため、このような結果になったと考えられる. type C では、上流側の海岸林は type B, 下流側の海岸 林は type A と同じ傾向が見られたが、それぞれの海岸 林前後の水深差は type A や type B に比べて小さくな っている. また, 作用力は下流側の海岸林模型の先頭 で最も大きな値をとった.

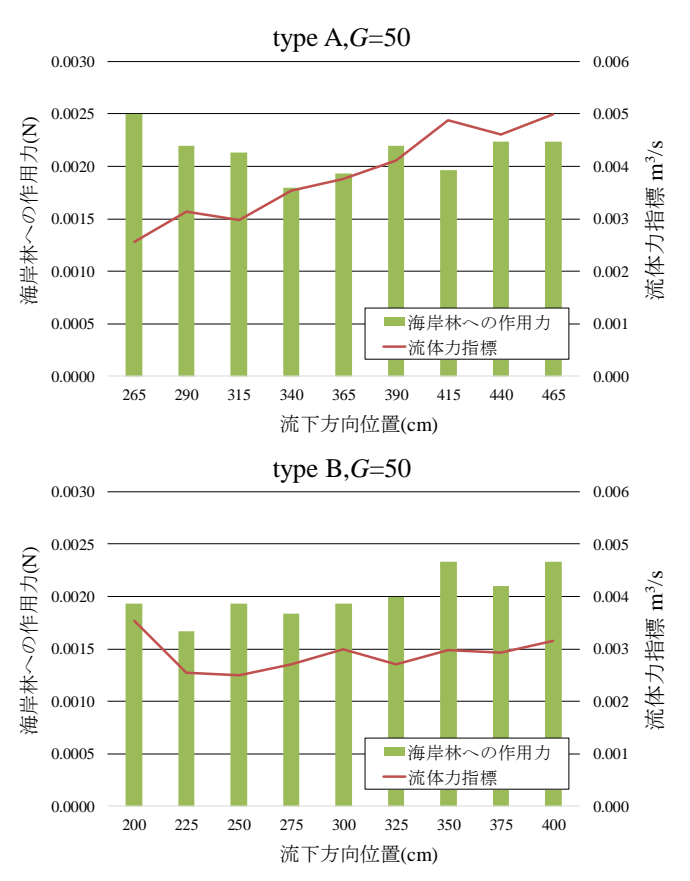


図-3 type A, B における海岸林模型への作用力

4. おわりに

本研究では、防潮堤と海岸林の配置方法の違いによる模型間流況と海岸林への作用力の変化について水理模型実験により検討を行った。防潮堤模型の後方に海岸林模型を設置した場合の方が海岸林模型の作用力が大きくなり流速を抑えられるため、流れの減勢という点では効果が大きいことが分かった。今後は海岸林内のより詳細な流況について検討を進める。

謝辞:本研究は、日本学術振興会の科学研究費補助金 (若手研究(B) 16K16373)の支援により実施されま した.ここに記して謝意を表します.

参考文献

- 1) 首藤伸夫(1985):防潮林の津波に対する効果と限界,第32回海岸工学講演会論文集,pp.465-469.
- 2) 内海翔太・飯村耕介・池田裕一・内山雄輝 (2015): 海岸林と防潮堤の位置関係が周辺流況に及ぼす影響に関する実験的研究,土木学会関東支部第42回 技術研究発表会講演概要集,II-41.
- 3) 内山雄輝・飯村耕介・池田裕一・内海翔太 (2015): 海岸林と防潮堤の位置関係が津波遡上の減勢効果 に与える影響に関する実験的研究, 土木学会関東 支部第 42 回技術研究発表会講演概要集, Ⅱ-44.